

奚鼎吉 奚伯维 著

粒子结构

及其相关问题的研究

Researches On the Particle
Structure and Its Related Problems

粒子结构

及其相关问题的研究

Researches On the Particle
Structure and Its Related Problems

奚鼎吉 奚伯维 / 著

吉林人民出版社

图书在版编目(CIP)数据

粒子结构及其相关问题的研究 / 奚鼎吉, 奚伯维著.— 长春 : 吉林人民出版社, 2009.8

ISBN 978-7-206-06292-6

I . 粒… II . ①奚… ②奚… III . 粒子—结构—研究

IV . 0572.2

中国版本图书馆 CIP 数据核字 (2009) 第 146587 号

粒子结构及其相关问题的研究

著 者: 奚鼎吉 奚伯维

责任编辑: 隋 军 封面设计: 孙浩瀚

咨询电话: 0431-85378017

吉林人民出版社出版 发行 (长春市人民大街 7548 号 邮政编码: 130022)

制 版: 吉林人民出版社图文设计印务中心

印 刷: 长春市太平彩印有限公司

开 本: 787mm×1092mm 1/16

印 张: 14.25 字 数: 290 千字

标准书号: ISBN 978-7-206-06292-6

版 次: 2009 年 11 月第 1 版 印 次: 2009 年 11 月第 1 次印刷

定 价: 38.00 元

如发现印装质量问题, 影响阅读, 请与印刷厂联系调换。

序 言

粒子究竟具有何种结构？这一直是物理工作者关注的问题。然而迄今为止还没有一种理论是令人满意的。

例如，在“标准模型”的粒子理论中，就存在一个难以解决的问题：该理论中提出的具有分数电荷的“夸克”从来没有人发现过。尽管人们设想了一套可以“自治”的理论，认为这种“夸克”只存在于束缚态，而无自由态。然后，由于束缚态的具分数电荷的“夸克”是无法用实验证实其存在的，所以仍然没有充足的证据证明客观上确实存在这种“夸克”。

除此之外，根据标准模型，夸克共有 36 种，而且，把它们联结起来的胶子也有 8 种之多。由这么多的夸克和胶子组成的粒子理论，很难证明它是正确的。何况这些夸克和胶子又是无法（或很难）发现、无法（或很难）用实验来证明其存在的。

又如，用 $SU(5)$ 群等试图把弱相互作用、电磁作用与强相互作用统一起来的大统一理论，虽然它有不少有价值的预言，但是它在理论上也是不无缺欠的。其最大的问题是：需要人为指定的“常数”在该理论中到处可见，如夸克的质量、轻子的质量、希格斯粒子的数目等等。有如此多需要人为指定的常数的理论，很难让人认为是一种最“基本”的理论。

再如，人们用超弦理论来研究粒子时，似乎也有许多无法解决的困难。其最主要的困难是：该理论只有在 26 维时空或 10 维时空中才能自治。但是我们很难想象真实的物理时空是 10 维、甚至是 26 维的。而另外一种类似的理论——超对称理论虽可适用于四维时空，然而迄今为止还没有任何实验事实可以证明“超对称”确实存在。譬如，如果“超对称”确实存在，则电子（其自旋 $J = \frac{1}{2}$ ）就应当有一个 $J = 0$ 的介子作为它的玻色子伙伴。但这一点并未得到实验证实。

鉴于此，本文提出一种新的粒子理论，试图避免以上各理论的种种问题，同时还能合乎逻辑地解释诸多有关粒子的实验现象。

目 录

序 言

§ 1 粒子结构	1
§ 1.1 有关粒子结构的设想的基本出发点	1
§ 1.2 第一级粒子——光子 γ	1
§ 1.3 第二级粒子—— e^- (e^+) 及 ν_e ($\bar{\nu}_e$)	2
§ 1.4 第三级粒子	5
§ 1.5 第四级粒子——除质子 P 之外的带正电荷重子	11
§ 1.6 第五级粒子	12
§ 2 粒子衰变道的内部具体过程分析	19
§ 3 自然界中力的种类及其计算	101
§ 3.1 机械力	101
§ 3.2 以粒子或单个物体为中介传递的力	104
§ 3.3 静电力、静磁力、引力、核力	104
§ 4 粒子的外壳及其束缚能	110
§ 4.1 粒子的外壳及其束缚能	110
§ 4.2 粒子弹性碰撞与非弹性碰撞“阈能”产生的原因	117
§ 4.3 粒子外壳破坏的原因	118
§ 4.4 粒子内部的其它结合力	119
§ 5 粒子衰变及碰撞内部过程中的力的分析	120
§ 5.1 粒子衰变内部过程中力的分析	120
§ 5.2 粒子碰撞内部过程及力的作用分析	133
§ 6 粒子质量的原理性公式	159
§ 6.1 粒子质量的原理公式的提出	159
§ 6.2 介子 S^\pm 的质量的推导	159
§ 6.3 重子多重态中质量关系的推导	161
§ 7 粒子序列质量的谐振子现象	166
§ 7.1 谐振子的质量公式	166

粒子结构及其相关问题的研究

§ 7.2 粒子质量的谐振子现象.....	166
§ 8 粒子寿命公式的探讨.....	180
§ 8.1 粒子寿命公式的提出.....	180
§ 8.2 粒子寿命公式的另一种形式.....	181
§ 8.3 $\sum E_{i\text{动}}, E_{\text{束}}$ 、粒子寿命 t 与衰变过程的关系	181
§ 8.4 K' 值的估算.....	182
§ 8.5 一些实例的计算.....	182
§ 8.6 一些结论.....	202
§ 8.7 复合粒子的寿命关系.....	202
§ 8.8 相同结构的稳定态粒子和共振态带粒子具有寿命差异的原因.....	206
§ 9 中微子问题的探讨.....	207
§ 10 “ X —暗物质”问题的研究	210
附录一	212
附录二 粒子结构式一览表	216
结束语	219
参考文献	220

§ 1 粒子结构

§ 1.1 有关粒子结构的设想的基本出发点

本文认为,粒子结构理论应当建立在可靠的依据之上。本文设想粒子结构的基本出发点是:

1. 粒子是由物质组成的。而物质组成的粒子必须具有能量、质量(但其静质量可以为零,如光子);
2. 粒子结构理论应当能够解释:为何目前发现的所有带电粒子,其电荷均为 e^{\pm} 的整数倍;
3. 粒子结构理论应当能够解释粒子的各种衰变道是如何形成的。也就是说,应能阐述粒子各衰变道的具体内部过程;
4. 粒子结构理论应能阐述粒子碰撞产生新粒子的具体内部过程;
5. 粒子结构理论应能解释粒子衰变及粒子碰撞过程中,是什么力在起作用的,又是如何起作用的;
6. 粒子结构理论应能解释粒子寿命的一些现象;
7. 粒子结构理论应当能够概略计算粒子质量,并对粒子质量的一些规律提出合理的解释;
8. 粒子结构理论必须遵循能量守恒、动量守恒等物理学基本定律;
9. 粒子结构理论提出的粒子的基本成分,必须能通过实验证实其确实存在;所提出的主要理论,也应能通过实验证实。

根据以上各点,我们设想了一种粒子结构理论。按照这种理论,我们将粒子分为五级。其第一级与第二级基本上是平级的。自第三级开始,每一级均由前面几级粒子组成。本文将对此进行讨论,并对相关问题进行探讨。

§ 1.2 第一级粒子——光子 γ

第一级粒子是所有粒子最基本的成分。本文设定它为光子。它即为自由电磁波之量子。

众所周知,光子的能量 E 等于

$$E = h\nu$$

式中: ν :——电磁波的频率

h :——普朗克常数

当只有光子存在时,其哈米尔顿算符 H^{rad} (即光子场的总能量)为:

$$H^{\text{rad}} = \frac{1}{2} \sum_{\mathbf{k}} (p_{\mathbf{k}}^2 + \omega_{\mathbf{k}}^2 q_{\mathbf{k}}^2) \quad (1.2)$$

此式表明, H^{rad} 可以写成无数振子项之和。(1.2)式中

$p_{\mathbf{k}}$ ——振子之动量

$q_{\mathbf{k}}$ ——振子之坐标

而 p, q 满足以下对易关系

$$[p, q] = \frac{\hbar}{i} \quad \dots\dots(1.3)$$

$$\text{式中 } \hbar = \frac{h}{2\pi} \quad \dots\dots(1.4)$$

(1.2)式还可以用下述形式写出:

$$H^{\text{rad}} = \sum_{\mathbf{k}} \left(n_{\mathbf{k}} + \frac{1}{2} \right) h\nu \quad \dots\dots(1.5)$$

其中 $\frac{1}{2} h\nu$ 称为零点能。即当空间中没有光子时,仍然存在一定的辐射能。常称

它为空间的背景能量。我们认为:背景能量的存在或许就是后文所谈及的“X - 暗物质”存在的佐证之一。

光子是自由电磁波之量子,而电磁波满足以下场方程:

$$F_{\mu\nu} = \partial_{\nu} A_{\mu} - \partial_{\mu} A_{\nu} \quad \dots\dots(1.6)$$

$$\partial F_{\mu\nu} + j_{\mu} = 0 \quad \dots\dots(1.7)$$

式中: A_{μ} ——电磁波之四维电磁势

j_{μ} ——四维电流矢量

$$j_{\mu} = ie\bar{\psi}\gamma_{\mu}\psi \quad \dots\dots(1.8)$$

ψ ——电子之波函数

e ——电子之电量

$$\partial_{\mu} = \partial_{\mu} = \frac{\partial}{\partial x_{\mu}}$$

而(1.6)、(1.7)在 U(1) 局域规范变换下保持不变。

§ 1.3 第二级粒子—— e^- (e^+) 及 ν_e ($\bar{\nu}_e$)

第二级粒子是由束缚态电磁能形成的最简单单体粒子。

本级粒子包括电子 e^- 、电子中微子 ν_e 及其反粒子 e^+ 及 $\bar{\nu}_e$ 。

所谓粒子是由“束缚态电磁能”组成,意即电磁能(或云“电磁波”)被束缚在空间一个极小的有限区域之内,形成了一个极小的、有边界的个体。这个个体可能会进行自转,并在不停地作整体运动。

束缚态电磁能可以组成两种形式及两种大小的简单的单体粒子。即电子 e^- (及其反粒子 e^+) 和电子中微子 ν_e (及其反粒子 $\bar{\nu}_e$)。

(一) 电子 e^- 及其反粒子 e^+

e^- 和 e^+ 是由束缚态电磁能组成的、相对 ν_e 及 $\bar{\nu}_e$ 而言的较大粒子。其内部电磁能含量较多，有不等于零的静质量（实验测出， $m_e^+ = 0.5109989902 \pm 0.000000021 \text{ Mev}$ ）。它不停地自转，同时还作整体运动。

e^- 和 e^+ 之所以表现出带有电荷（即其周围存在静电场），可以这样设想：其内部的电磁能——即电磁波——具有一种特殊的运转方式，在这种方式下，粒子“外壳”中的每一个空间点都有恒定的、非零电场强度值，从而使其外部表现出静电场，体现出 e^- 及 e^+ 带有“电荷”。有关粒子的“外壳”，我们将在下文中详细叙述。

e^- 与 e^+ 之所以有不同的电荷，是因为 e^- 和 e^+ 内部电磁波的运转方式是对称的，致使 e^- 外壳中各空间点具有恒定的非零负电场强度、 e^+ 的“外壳”中各空间点具有恒定的非零正电场强度。这样， e^- 的外部就表现为有负的静电场、 e^+ 的外部有正的静电场。换言之，我们就可以说 e^- 带有“负电荷”、 e^+ 带有“正电荷”。

由于我们对 e^- 、 e^+ 作此设想，因此 $\gamma \longleftrightarrow e^+ e^-$ 是很自然的事。即光子 γ 可以在某种情况下转化成 $e^+ e^-$ 、且 e^+ 、 e^- 在某种情况下相遇也会湮灭成光子 γ 。

e^- 、 e^+ 的不同点还在于它们的相对于同一参考系的“螺旋性”——自旋的方向 \vec{S} 和整体运动的方向 \vec{v} （或动量 \vec{P} ）的相互关系不同。例如，对于实验室参考系而言 e^- 的 \vec{S} 和 \vec{v} （或 \vec{P} ）的方向相同，即它是右旋的； e^+ 的 \vec{S} 与 \vec{v} （或 \vec{P} ）的方向相反，即它是左旋的。

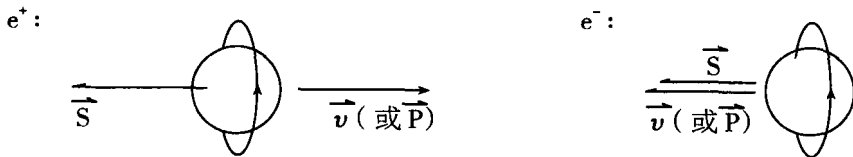


图 1-1(1) e^\pm 结构示意图(相对实验室参考系)

由于 e^- 、 e^+ 外壳的各空间点具有恒定的非零电场强度， e^- 、 e^+ 还作自转，所以它们都应当带有磁矩。事实上， e^- 、 e^+ 磁矩的实测值为

$$\mu = 1.001159652187 \pm 0.000000000004 \mu_B$$

$$\text{其中: } \mu_B = \frac{e\hbar}{2m_e c}$$

式中：
e——电子的电量

$$\hbar = \frac{h}{2\pi}$$

h——普朗克常数

m_e ——电子的质量

c——光速

μ_B ——电子的玻尔磁子。它等于

$$0.57883785 \pm 0.00000095 \times 10^{-14} \text{ Mev} \cdot \text{高斯}$$

由于静质量 $m_0 \neq 0$ 的粒子，其螺旋性对于不同的参考系可能是不同的，因此在本

文下面的粒子结构示意图中,我们一般不画出 $m_0 \neq 0$ 的粒子的螺旋性。而是在表明它作自转的椭圆形曲线上,不标注表示方向的箭头。在此规定下,粒子 e^\pm 的结构示意图为图 1-1(2)。

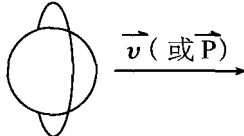


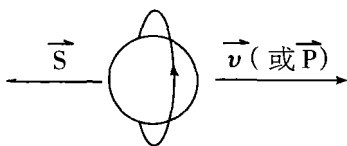
图 1-1(2) e^+, e^- 结构示意图

(二) 电子中微子 ν_e 及其反粒子 $\bar{\nu}_e$

ν_e 和 $\bar{\nu}_e$ 是由束缚态电磁能组成的、相对 e^- 、 e^+ 而言较小的粒子。其内部电磁能含量极少、少到其静质量无限趋近于零。在 ν_e 和 $\bar{\nu}_e$ 内部,其束缚态电磁能——即电磁波——的运转方式与 e^- 、 e^+ 内部束缚态电磁能的运转方式可能不同,致使其外壳中的各空间点的电场强度可能等于零。因而 ν_e 和 $\bar{\nu}_e$ 外部可能没有非零静电场,即 ν_e 和 $\bar{\nu}_e$ 可能不带电荷。

ν_e 和 $\bar{\nu}_e$ 中,束缚电磁能含量相同,大小相同。然而, ν_e 、 $\bar{\nu}_e$ 中束缚态电磁能的运转形式对称。而且, ν_e 、 $\bar{\nu}_e$ 都是在作自转及整体运动的,但其螺旋性相反: ν_e 的自转方向 \vec{S} 与整体运动方向 \vec{v} 相反, $\bar{\nu}_e$ 的自转方向 \vec{S} 与整体运动方向 \vec{v} (或 \vec{P}) 相同。即

ν_e :



$\bar{\nu}_e$:

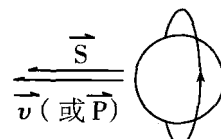


图 1-2 ν_e 、 $\bar{\nu}_e$ 结构示意图(由于 ν_e 、 $\bar{\nu}_e$ 的 $m_0 = 0$ 或极近于零,故它们有确定的螺旋性)

根据狭义相对论,有

$$E = \frac{m_0 C^2}{\sqrt{1 - \frac{v^2}{C^2}}}$$

由于 ν_e 及 $\bar{\nu}_e$ 静质量 m_0 趋于零,要使 ν_e 、 $\bar{\nu}_e$ 具有非零的能量 E ,其速度 v 应当趋于光速 C 。这就是 ν_e 和 $\bar{\nu}_e$ 具有极接近于光速 C 的速度的原因所在。

由于 ν_e 和 $\bar{\nu}_e$ 具有如此高的速度,又具有一定强度的外壳(这一点将在下文中述及)且不带电荷或带电量极小,其体积又极小,使得 ν_e 和 $\bar{\nu}_e$ 有极强的“穿透性”。

由于如前所述 ν_e 和 $\bar{\nu}_e$ 外壳各空间点的总电场强度都可能等于零,因此尽管 ν_e 及 $\bar{\nu}_e$ 也在作自转, ν_e 和 $\bar{\nu}_e$ 也不会有磁矩。然而, ν_e (或 $\bar{\nu}_e$) 磁矩的实测值为

$$\mu < 1.5 \times 10^{-10} \mu_B$$

仅仅说明其磁矩极小,并未确定它为零。如果更精确的测量认定其磁矩虽小但不为零,就会反过来证明 ν_e 和 $\bar{\nu}_e$ 不是完全不带电荷,只不过电荷的电量极小而已。如

果是这样, ν_e 、 $\bar{\nu}_e$ 就和 e^- 、 e^+ 极为相像, 或者可说 ν_e (及 $\bar{\nu}_e$) 是 e^- (或 e^+) 的微缩版。在此情况下, ν_e ($\bar{\nu}_e$) 中的束缚电磁能的运转方式应与 e^- (e^+) 中的束缚电磁能的运转方式完全相同。仅能量含量不同、大小不同而已。

在以上对 ν_e (及 $\bar{\nu}_e$) 的结构的设定之下, $\gamma \longleftrightarrow \nu_e \bar{\nu}_e$ 也是当然成立的。这和 $\gamma \longleftrightarrow e^- e^+$ 的分析相同。

如上所述,本文设定的第一级粒子为电磁波的量子——光子,第二级粒子为束缚电磁能(或称:“电磁波”)形成的最简单个体—— e^- 、 ν_e 及其反粒子 e^+ 、 $\bar{\nu}_e$ 。

第二级粒子是以下的第三、四、五级粒子的最基本组成成分。第一级粒子在第二至第五级粒子衰变的过程中、在粒子碰撞过程中经常出现。

需要注意的是:第一级“粒子”是电磁波的量子,其本质为波,但有极强的粒子性。第二级至第五级是真正意义上的“粒子”——它们占有有限的空间,是有一定的内部结构、有边界、有外壳的物理个体。但是它们具有“波性”。波的量子和具有波性的粒子本质上是两种物理概念、两种运动形态。然而,正因为粒子具有波性,故用描述波的方程如薛丁谔方程:K—G 方程、Dirac 方程等来描述它们时,也可以得出许多有益的结论。特别是对它们加上“量子化条件”后,更是如此。

§ 1.4 第三级粒子

第三级粒子都是由第二级粒子直接组成的。本级粒子包括 μ^\pm 及 τ^\pm 、 ν_μ ($\bar{\nu}_\mu$) 及 ν_τ ($\bar{\nu}_\tau$)、P 及 \bar{P} 、介子 S^\pm 及 π^\pm 和其它带正负电荷的介子、 π^0 及其它中性介子。

§ 1.4—1 由 e^- 、 e^+ 组成的单组元粒子—— μ^\pm 及 τ^\pm ; 由 ν_e 、 $\bar{\nu}_e$ 组成的单组元粒子 ν_μ 、 $\bar{\nu}_\mu$ 及 ν_τ 、 $\bar{\nu}_\tau$

在下文中,我们将组成某粒子的各个成分(或说是各个“小粒子”)称作该粒子的“组元”。对于结构复杂的粒子,其组元还可分为“一级组元”、“二级组元”等。

§ 1.4—1—1 μ^- (μ^+) 及 τ^- (τ^+)

本文认为: μ^- 是由 e^- 在一个有限的微小空间中按一定轨道运转形成的。而且,其本身还在自转,并作整体“宏观”运动。其结构示意图可以设想如下:

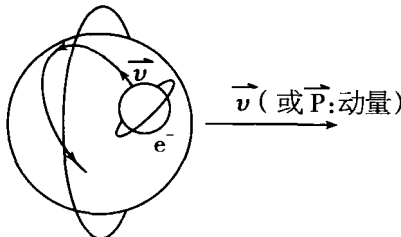


图 1-3 μ^- 结构示意图

在本文中,我们将 μ^- 的结构式写成 e^- 。其意思是: μ^- 是以 e^- 为组元的、 e^- 的运此为试读,需要完整PDF请访问: www.ertongbook.com

动轨道能级为“1”级的粒子。

由于它是由一个组元 e^- 构成的,因而它也带有与 e^- 相同的负电荷。又因为 μ^- 在作自转,因此它也具有磁矩(μ^- 的磁矩的实测值为 $1.0011659160 \frac{e\hbar}{2m_\mu}$)。

μ^+ 的结构与此类似,它由 e^+ 在一个有限的微小空间中按一定轨道运转而成。而且此轨道和 μ^- 中轨道类似,但相互对称。 μ^+ 的本身还在作整体自转和“宏观”直线运动。 μ^- 、 μ^+ 相对于同一参考系的自转方向与“宏观”直线运动方向的相互关系(螺旋性)相反。

μ^+ 的结构式为 $e^+ \overset{[1]}{\text{——}}$ 。其意义与 μ^- 的结构式 $e^- \overset{[1]}{\text{——}}$ 意义相似。 μ^+ 的结构示意图为:

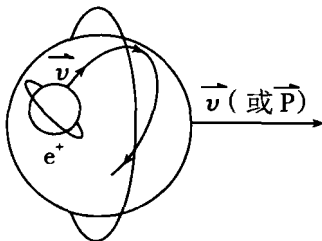


图 1-4 μ^+ 结构示意图

τ^- 、 τ^+ 的结构与 μ^- 、 μ^+ 的结构相似,也是由 e^- 、 e^+ 在一个有限的微小空间中按一定轨道运转而成的。其结构示意图为:

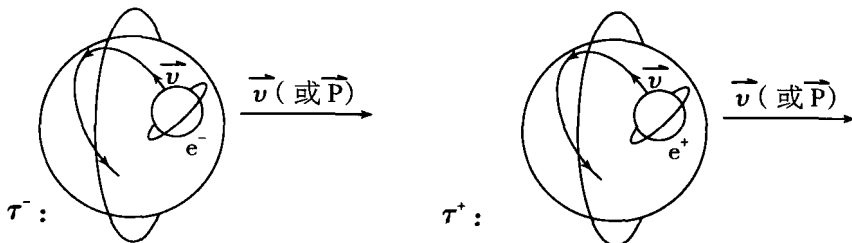


图 1-5 τ^\pm 结构示意图

τ^\pm 中组元 e^\pm 的运转轨道能级高于 μ^\pm 中 e^\pm 的运转轨道能级,因此将 τ^\pm 的结构式写成 $e^\pm \overset{[2]}{\text{——}}$ 和 $e^\pm \overset{[2]}{\text{——}}$ 。意思是: τ^\pm 的组元是 e^\pm ,其轨道运动能级为“2”级。

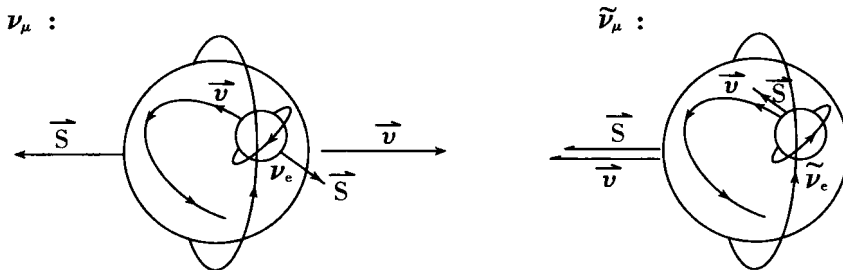
τ^- 与 τ^+ 中组元 e^- 、 e^+ 的运动轨道能级相等、形式相似但互相对称, τ^- 、 τ^+ (相对于同一参考系)的螺旋性相反。

在衰变道内部过程分析(见 §2)中我们可以看出,本文所设定的结构可以顺利地、合理地解释它们全部衰变道的内部过程。这也反过来证明了本文设定的 μ^\pm 、 τ^\pm 结构是合理的。

§ 1.4—1—2 $\nu_\mu (\bar{\nu}_\mu)$ 和 $\nu_\tau (\bar{\nu}_\tau)$

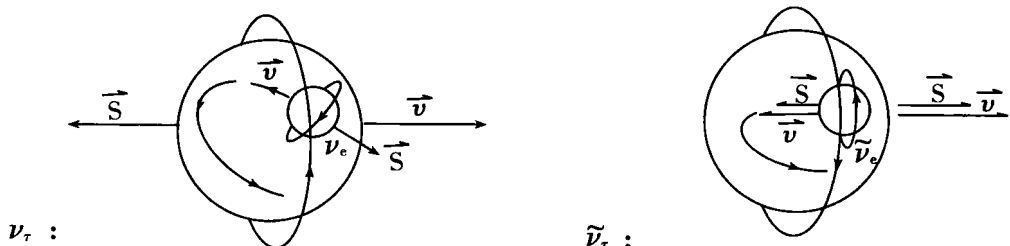
本文认为 ν_μ 是由 ν_e 在一个有限的微小空间中按一定轨道运转而成。而且,它作为一个整体还作自转,并作整体“宏观”直线运动。而 $\bar{\nu}_\mu$ 则是由 $\bar{\nu}_e$ 在一个有限微小空

间中运转而成。其轨道能级与 ν_μ 中 ν_e 的轨道能级相同,但两轨道形式相互对称。且 ν_μ 与 $\bar{\nu}_\mu$ 的螺旋性相反(由于 ν_μ ($\bar{\nu}_\mu$)、 ν_e ($\bar{\nu}_e$) 的 $m_0 = 0$ 或极近于零,故它们有确定的螺旋性)。其结构示意图如下:

图 1-6 ν_μ 、 $\bar{\nu}_\mu$ 结构示意图

ν_μ 的结构式为 ν_e 、 $\bar{\nu}_\mu$ 的结构式为 $\bar{\nu}_e$ 。其意义是: ν_μ 和 $\bar{\nu}_\mu$ 的组元分别为 ν_e 和 $\bar{\nu}_e$, ν_e 和 $\bar{\nu}_e$ 的轨道能级同为“1”级。

至于 ν_τ 和 $\bar{\nu}_\tau$,也是由 ν_e 和 $\bar{\nu}_e$ 在一微小空间中按一定轨道运转而成。二者轨道能级相同,形式对称。而且其能级高于 ν_μ 和 $\bar{\nu}_\mu$ 中 ν_e 及 $\bar{\nu}_e$ 的轨道能级。 ν_τ 和 $\bar{\nu}_\tau$ 的螺旋性相反。其结构示意图如

图 1-7 ν_τ 、 $\bar{\nu}_\tau$ 结构示意图

ν_τ 和 $\bar{\nu}_\tau$ 的结构式分别为 ν_e 及 $\bar{\nu}_e$ 。其意义是: ν_τ 的组元是 ν_e 、 $\bar{\nu}_\tau$ 的组元是 $\bar{\nu}_e$ 。 ν_e 和 $\bar{\nu}_e$ 的轨道能级相同,均为 2 级。高于 ν_μ 、 $\bar{\nu}_\mu$ 中组元 ν_e 、 $\bar{\nu}_e$ 的轨道能级。

由于 ν_μ 、 ν_τ 之间有上述关系,因此存在以下转换过程就是很自然的:

$$\nu_\mu + \gamma \longleftrightarrow \nu_\tau \quad \dots \dots (1.4-1)$$

$$\bar{\nu}_\mu + \gamma \longleftrightarrow \bar{\nu}_\tau \quad \dots \dots (1.4-2)$$

又由于 ν_e 、 $\bar{\nu}_e$ 是 ν_μ 及 $\bar{\nu}_\mu$ 以及 ν_τ 及 $\bar{\nu}_\tau$ 的组元,因此以下过程也是极有可能存在的:

$$\nu_e + \gamma \longleftrightarrow \nu_\mu \quad \dots \dots (1.4-3)$$

$$\nu_e + \gamma \longleftrightarrow \nu_\tau \quad \dots \dots (1.4-4)$$

$$\bar{\nu}_e + \gamma \longleftrightarrow \bar{\nu}_\mu \quad \dots \dots (1.4-5)$$

$$\bar{\nu}_e + \gamma \longleftrightarrow \bar{\nu}_\tau \quad \dots \dots (1.4-6)$$

而(1.4—1)至(1.4—6)表示的是三种中微子间的转换关系。即所谓“中微子振

“荡”过程。但是它比通常所说的“中微子震荡”范围要大得多。

§ 1.4—2 质子 P 及其反质子 \bar{P}

质子 P 是由正电子 e^+ 在一个极小的空间区域内、沿一条极其稳定的轨道运转而成的。其轨道能级高于 μ^+ 中 e^+ 的轨道能级。而且作为一个整体, 它还作自转及“宏观”直线运动。其结构示意图为

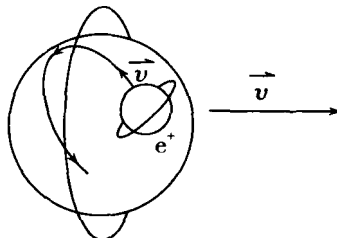


图 1-8 P 结构示意图

P 的反粒子则为 e^- 在一个大小与 P 所占空间相当的微小空间内, 沿一个与 P 中 e^+ 运转轨道相对称的轨道运转而成。它也作自转及空间直线运动, 但相对于同一参考系的“螺旋性”与 P 相反。其结构示意图为:

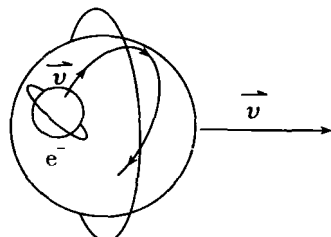


图 1-9 \bar{P} 结构示意图

这样设定的粒子 P、 \bar{P} 的结构, 可以解释它们的可能的衰变道, 如 $P \rightarrow e^+ \gamma$ 等等。在 § 2 章中对此将有所分析。

在本文中, P 的结构式为 e^+ , 其含义为: P 是 e^+ 形成的一种特殊的稳定的粒子; \bar{P}

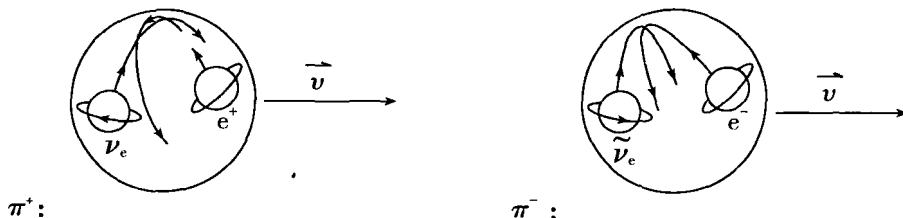
的结构式为 e^- , 其含义为: \bar{P} 是 e^- 形成的特殊稳定的粒子。

§ 1.4—3 介子 S^\pm 、 π^\pm 及其它带正、负电荷的介子, π^0 及其它中性介子

§ 1.4—3—1 介子 S^\pm 、 π^\pm 及其它带正、负电荷的介子

这些介子本文设定为由二级粒子 e^- 、 $\bar{\nu}_e$ 或 e^+ 、 ν_e 组成。例如: 我们设定 π^+ 为由 e^+ 、 ν_e 形成的粒子, 其结构式为 $e^+ \boxed{\nu_e}$ 。其含义为: 它是由 e^+ 、 ν_e 在空间微小区域中按一定轨道运转形成的粒子, 其轨道能级为“1”级。同样, 我们将 π^- 设定为由 e^- 、 $\bar{\nu}_e$ 在空间微小区域中按一定轨道运转形成的粒子, 其轨道能级为“1”级。结构式

为 e^- $\bar{\nu}_e$ 。 π^+ 、 π^- 本身不作自转，仅作宏观直线运动。 π^+ 、 π^- 的结构示意图为：

图 1-10 π^+ 、 π^- 结构示意图

本文认为，与 π^\pm 相比，还应当存在一种比 π^\pm 质量较低、其组元为 e^+ 、 ν_e 或 e^- 、 $\bar{\nu}_e$ 但运转轨道能级较 π^+ 或 π^- 的组元的运转轨道能级低的粒子，我们将它命名为 S^\pm 。

并将其结构式写成 e^+ ν_e 及 e^- $\bar{\nu}_e$ 。其含义为： S^+ 是以 e^+ 、 ν_e 为组元的最低能级—零级—粒子； S^- 是以 e^- 、 $\bar{\nu}_e$ 为组元的最低能级—零级—粒子。

至于其它带正、负电荷的介子，也是以 e^+ 、 ν_e 为组元或以 e^- 、 $\bar{\nu}_e$ 为组元的粒子。

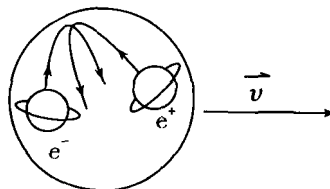
其结构式分别写成 e^+ ν_e 及 e^- $\bar{\nu}_e$ 。其中“K”表示该粒子的能级。

§ 1.4—3—2 π^0 及其它中性介子

本文设定 π^0 及其余中性介子是由 e^+ 、 e^- 在一微小空间中按一定轨道运转而成。 π^0 为中性介子中质量最小者，即 π^0 中组元 e^+ 、 e^- 的运转轨道能级最低。我们把 π^0

的结构式写成 e^+ e^- 。其含义为： π^0 的组元为 e^+ 、 e^- 。 e^+ 、 e^- 运转轨道能级为“1”级。与带正、负电荷的介子不同，中性介子没有比 π^0 组元轨道能级更低的。

π^0 及其它中性介子的结构示意图为

图 1-11 π^0 结构示意图

π^0 及其它中性介子本身不作自转，仅作宏观直线运动。

需要指出的是：本文提出的结构式中，能级数和质量大小有关。对于同一结构、即同一种组元的粒子，质量越大、能级越高。

§ 1.4—3—3 介子 SU(2) 群

中性介子和正负介子构成了一个 $SU(2)$ 群。这个群的两个基础表示 2 及 2^* 定义为：

$$2 = \begin{pmatrix} e^- \\ \nu_e \end{pmatrix} \quad 2^* = \begin{pmatrix} e^+ \\ \bar{\nu}_e \end{pmatrix}$$

将2与2*直乘，可以约化为两个不可约表示1与3的直和。即

$$2 \otimes 2^* = 1 \oplus 3$$

其中“1”表示一个单态，“3”表示一个三重态。也就是说 SU(2) 的四个态可以化作一个三重态和一个单态之和。我们认为，这个三重态3为：

1. 由 e^+ 、 e^- 组成的中性介子 $e^+ \quad e^-$ 。其中“K”表示组元的轨道能级；

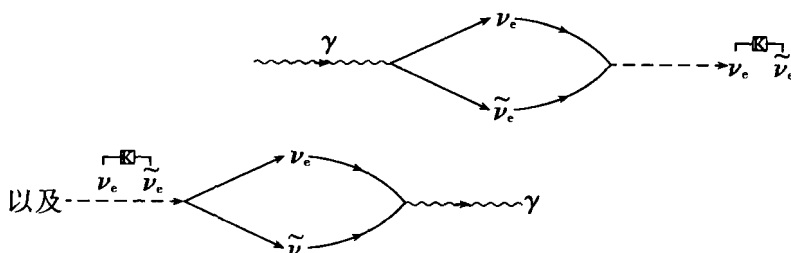
2. 由 e^- 、 $\bar{\nu}_e$ 组成的带负电荷介子 $e^- \quad \bar{\nu}_e$ ；

3. 由 e^+ 、 ν_e 组成的带正电荷的介子 $e^+ \quad \nu_e$ ；

而“1”代表的单态即由 ν_e 、 $\bar{\nu}_e$ 组成的一种特殊的介子，可以写作 $\nu_e \quad \bar{\nu}_e$ 。这个介子的静质量为零、速度为“C”。而且和光子 γ 可以直接转化。即

$$\gamma \longleftrightarrow \nu_e \quad \bar{\nu}_e$$

其具体转化过程为：



我们暂把这种介子称为“ X_i 介子”。其结构示意图为

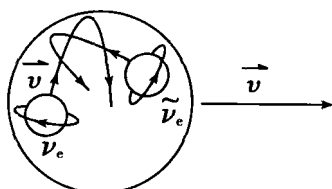


图 1-12 X_i 介子结构示意图

它不作自转，即其自旋等于零。它为一标量粒子，这种粒子可以束缚在一较大粒子之中，也可能有自由态。

由于其静质量接近于零。根据

$$E = \frac{m_0 C^2}{\sqrt{1 - \frac{v^2}{C^2}}}$$

由于其 $E \neq 0$, 其宏观运动速度 v 也应接近“C”。

当太阳发出中微子 ν_e 与 $\bar{\nu}_e$ 时, 其 ν_e 、 $\bar{\nu}_e$ 可以单独向四周空间中发出, 也可能以“ X_i 介子”形态向四周运动, 其速度均接近“C”。

由于太阳发射出的中微子主要是 ν_e 与 $\bar{\nu}_e$, 而太阳发射出的中微子到达地球前会大量减少, 而发生“太阳中微子失踪”。除了 ν_e 、 $\bar{\nu}_e$ 会发生“振荡”——变成 ν_μ 、 $\bar{\nu}_\mu$ 或

ν_τ 、 $\bar{\nu}_\tau$ ——外, $\nu_e + \bar{\nu}_e \rightarrow \nu_e \quad \bar{\nu}_e$ 介子可能也是其重要原因之一。

§ 1.5 第四级粒子——除质子 P 之外的带正电荷重子

第四级粒子是由第三级粒子组成的。本级粒子仅包括除质子 P 以外的带正电荷重子一类粒子。

除 P 以外, 其余带正电荷重子(其实此处仅指带一个正电荷的重子)如 Σ^+ 、 Λ^+ 、 Ξ_c^+ 等等, 都可以看成是质子 P 在一个微小空间中、沿一定轨道运转而成。其自身作自转, 在不受外力的情况下作宏观直线运动。其结构示意图为:

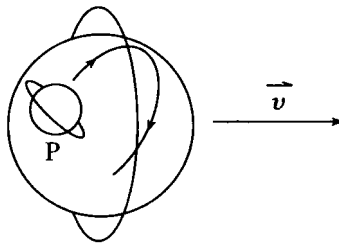


图 1-13 除 P 外其余带正电荷重子结构示意图

本文将其结构式写成 P^K 。其含意为: 它们是以质子 P 为组元的单组元粒子, P 的轨道能级为 K。能级 K 越高, 粒子的静质量越大。

根据目前发现的粒子看, 除 P 外的带正电荷重子中质量最小——即组元 P 运动轨道能级最低的粒子是 Σ^+ , 其余带正电荷重子的组元 P 的运动轨道能级都比 Σ^+ 中组元 P 的运动轨道能级高。因此, 不妨将 Σ^+ 看作除 P 外带正电荷重子中的“基态”粒子, 而其余带正电荷重子均为它的“激发态”。

同样, 反质子 \bar{P} 在空间一微小区域中沿一定轨道运动也可以形成一种带负电荷的“反重子”。但它和我们通常见到的带负电荷重子不同。通常的带负电荷重子具有 § 1.6—2 节所示的结构。